

© А.И. Горбачевская, 2008  
УДК 611.814:612.823.5:636.7

*А.И. Горбачевская*

## ОРГАНИЗАЦИЯ ПРОЕКЦИЙ НЕОПРЕДЕЛЁННОЙ ЗОНЫ ПРОМЕЖУТОЧНОГО МОЗГА НА СТРУКТУРЫ ПАЛЛИДУМА МОЗГА СОБАКИ

Лаборатория физиологии высшей нервной деятельности (зав. — д-р биол. наук В.Т. Шуваев) Института физиологии им. И.П. Павлова РАН, Санкт-Петербург

Детальная организация проекций отдельных секторов неопределенной зоны промежуточного мозга на функционально различные структуры паллидума мозга собаки была исследована методом анtero- и ретроградного аксонного транспорта пероксидазы хрина. Установлено, что нейроны каудального сектора неопределенной зоны иннервируют бледный шар и энтопедункулярное ядро, которые в большей степени получают иннервацию от моторных структур. На те же палидарные структуры проецируются единичные нейроны дорсального и каудального секторов неопределенной зоны. Связи неопределенной зоны с лимбическим вентральным паллидумом не установлены.

**Ключевые слова:** головной мозг, неопределенная зона, бледный шар, энтопедункулярное ядро, вентральный паллидум.

Клинические данные, а также результаты экспериментальных исследований последних лет [11] указывают на участие неопределенной зоны (ZI) промежуточного мозга в общих функциях с базальными ганглиями. Высказано предположение [7, 11], что функционирование этих структур следует рассматривать только в неразрывной связи. Интерес к ZI, вспыхнувший в начале нынешнего века, в основном связан с поиском новых подходов к лечению паркинсонизма, в патогенез которого это ядро вовлечено наряду с базальными ганглиями. Было выявлено, что при лечении данной патологии именно ZI, а не субталамус или паллидум, как полагали ранее, может являться наиболее адекватной мишенью для глубокой стимуляции с целью облегчения расстройств [9, 14]. Значительный вклад в понимание нарушений при таких заболеваниях, а также механизмов организации различных поведенческих актов может внести знание малоизученных связей ZI [8, 11, 12] с базальными ганглиями, неодинаковых по структурным, нейрохимическим и функциональным характеристикам, в частности, с некоторыми из их основных выходных структур — палидарными ядрами. В связи с недостаточной разработанностью вопроса о структурной дифференцировке ZI на подструктуры для ряда видов, в том числе и для собаки, сведения, касающиеся организации связей отдельных сегментов этих структур с паллидумом, являются ограниченными, а для собаки вообще отсутствуют. Поэтому цель настоящего исследования — рассмотреть детальную организацию проекций отдельных секторов ZI на функционально различные структуры паллидума.

**Материал и методы.** Работа выполнена на 12 взрослых беспородных собаках в соответствии с «Правилами проведения работ с использованием экспериментальных живот-

ных (приказ № 755 от 12.08.1977 г. МЗ СССР). Операцию, как и перфузию, осуществляли под внутривенным наркозом пропофола (Б. Браун Мельзунген АГ, Германия) (2,5 мг/кг) после предварительного внутримышечного введения рометара (4 мг/кг). В качестве маркёров использовали 0,12–0,08 мкл 40% водного раствора пероксидазы хрина (HRP, тип VI, Sigma, Германия) или 0,1 мкл 2,5% HRP, конъюгированной с аглутинином проростков пшеницы (WGA, Sigma, Германия). HRP является ретроградным, а HRP-WGA — одновременно ретроградным и антероградным маркёром, введение которого позволяет выявлять не только ретроградно меченные тела клеток, но и антероградно меченные аксоны. В стерильных условиях по стереотаксическим координатам атласа [6] маркёр вводили в функционально различные области паллидума, выделенные на основании преобладания входов от лимбических или моторных структур [1]: лимбическую (вентральный паллидум), моторную (бледный шар и энтопедункулярное ядро). Последнее ядро, хотя и получает проекции от функционально различных структур, можно отнести к моторной области паллидума, поскольку показано, что преобладающее число (90%) его нейронов связано с моторными структурами мозга [13]. Спустя 48 ч производили перфузию головного мозга.

Эту процедуру, а также последующую обработку мозга осуществляли по прописи M.-M. Mesulam [10], используя тетраметилбензидин для гистохимического выявления HRP в телах и аксонах нейронов ZI. Определение фронтальных уровней гистологических срезов мозга, а также идентификацию ZI и её отдельных секторов проводили в соответствии с атласом [6] и собственными данными по изучению её топографии и цитоархитектоники [2].

**Результаты исследования.** Полученные данные, касающиеся распределения меченных HRP тел нейронов и аксонов в разных секторах ZI промежуточного мозга собаки при инъекциях маркёра в структуры паллидума, обобщены в таблице.

У всех животных 1-й группы, которым маркёр вводили в бледный шар, меченные нейроны преобладали в каудальном секторе ZI (ZIc) (рис. 1, а),

**Распределение меченых тел нейронов и аксонов в разных секторах неопределенной зоны (ZI) промежуточного мозга при инъекциях маркёра в структуры паллидума мозга собаки**

Группы животных	№ животного	Локализация зон инъекций маркёра (HRP или HRP-WGA) в структурах паллидума	Фронтальные уровни по атласу [5]	Меченные HRP тела нейронов и аксоны в разных секторах ZI				
				ZIr	ZId	ZIv	ZIc	ZId-l
1-я	1	GP (HRP-WGA)	23,5–22,5	ант	+/ант	+/ант	++/ант	0
	2	GP(HRP)	22,5–20,5	0	+	+	++	0
	3	GP(HRP)	20,0–19,0	0	+	+	++	0
	4	GP(HRP-WGA)	20,5–19,5	ант	+/ант	+/ант	++/ант	+
	5	GP(HRP)	15,5–14,0	0	0	0	++	0
2-я	6	ENT(HRP-WGA)	22,0–19,5	ант	+/ант	+/ант	++/ант	0
	7	ENT(HRP)	21,0–19,0	0	+	++	++	0
	8	ENT(HRP-WGA)	20,0–19,0	ант	+/ант	+/ант	++/ант	0
	9	ENT(HRP)	16,5–15,5	0	0	0	+	+
3-я	10	VP(HRP-WGA)	24,5–23,5	0	0	0	0	0
	11	VP(HRP)	24,5–24,0	0	0	0	0	0
	12	VP(HRP)	24,5–23,5	0	0	0	0	0

Примечание. Число нейронов (Н), меченых маркёром на одном фронтальном срезе мозга: 0 — меченные нейроны отсутствовали; + — (1–3н); ++ — (4–10н); ант — антероградное мечение аксонов. Структуры паллидума: ENT — энтопедункулярное ядро; GP — бледный шар; VP — центральный паллидум. Сектора ZI: ZIc — каудальный; ZId — дорсальный; ZIv — центральный; ZIr — ростральный; ZId-l — дорсолатеральный. Маркёры: HRP — пероксидаза хрина; HRP-WGA — пероксидаза хрина, коньюгированная с агглютинином проростков пшеницы.

а в дорсальном (ZId) (см. рис. 1, б) и центральном (ZIv) (см. рис. 1, в) секторах зафиксированы единичные маркированные клетки у всех животных, кроме собаки № 5. У этого животного с локализацией маркёра на самых каудальных уровнях бледного шара мечены клетки в других секторах ZI, кроме ZIc, не наблюдали. В дорсолатеральном секторе ZI (ZId-l) у одного животного (№ 4) были обнаружены единичные меченные нейроны. У животных этой группы, которым вводили HRP-WGA (собаки № 1 и № 3), отмечено антероградное мечение волокон (см. рис. 1, в) в этих же секторах, где выявлены HRP-меченные нейроны, а также в ростральном секторе ZI (ZIr), в котором маркированных клеток не обнаружено ни у одного животного из этой группы.

В следующей группе животным инъектировали маркёры в энтопедункулярное ядро. При этом характер распределения меченых клеток и волокон в секторах ZI был сходен с таковым у животных предыдущей группы. У собак № 6–8 большая часть меченых нейронов выявлена в ZIc (см. рис. 1, г), небольшое количество их отмечено в ZId (см. рис. 1, д) и ZIv. В этих же секторах, а также в ZIr, в котором меченные клетки не наблюдались, обнаружены меченные волокна (см. рис. 1, д). У собаки № 9, у которой зона инъекции маркёра была локализована в более каудальной области ядра, чем у предыдущих животных, в ZId и ZIv маркированных клеток не обнаружено, при этом единичные нейроны наблюдались в ZIc и только у этого животного — в ZId-l.

У животных 3-й группы, которым вводили маркёр в центральный паллидум, ни ретроградно меченых клеток, ни антероградно меченых аксонов ни в одном из секторов ZI не обнаружено.

**Обсуждение полученных данных.** Таким образом, нейроны, проецирующиеся на дорсальный паллидум, локализованы преимущественно в ZIc и лишь единичные — в ZId и ZIv. На центральный паллидум ни один из секторов ZI не проецируется. При рассмотрении антероградного мечения аксонов в ZI необходимо напомнить, что в опытах с введением ретроградного маркёра — HRP в разные сектора ZI было показано наличие афферентных проекций на ростральный, медиальный и каудальный отделы ZI от бледного шара и энтопедункулярного ядра [3]. Однако в этих опытах не удалось дифференцировать проекции отдельных секторов, в частности, дорсального и центрального, поскольку зона инъекции маркёра даже при введении его минимального объёма (0,05 мкл) распространялась на оба исследуемых сектора, протяженность которых в дорсовентральном направлении не превышает 1 мм. В настоящих опытах при введении HRP-WGA в моторные дорсальные структуры паллидума (бледный шар и энтопедункулярное ядро) в ростральном, центральном, дорсальном и каудальном секторах ZI обнаружено антероградное мечение аксонов, что свидетельствует о наличии проекций от этих паллидарных структур на все сектора ZI. Выявить какой-либо топики в организации пал-

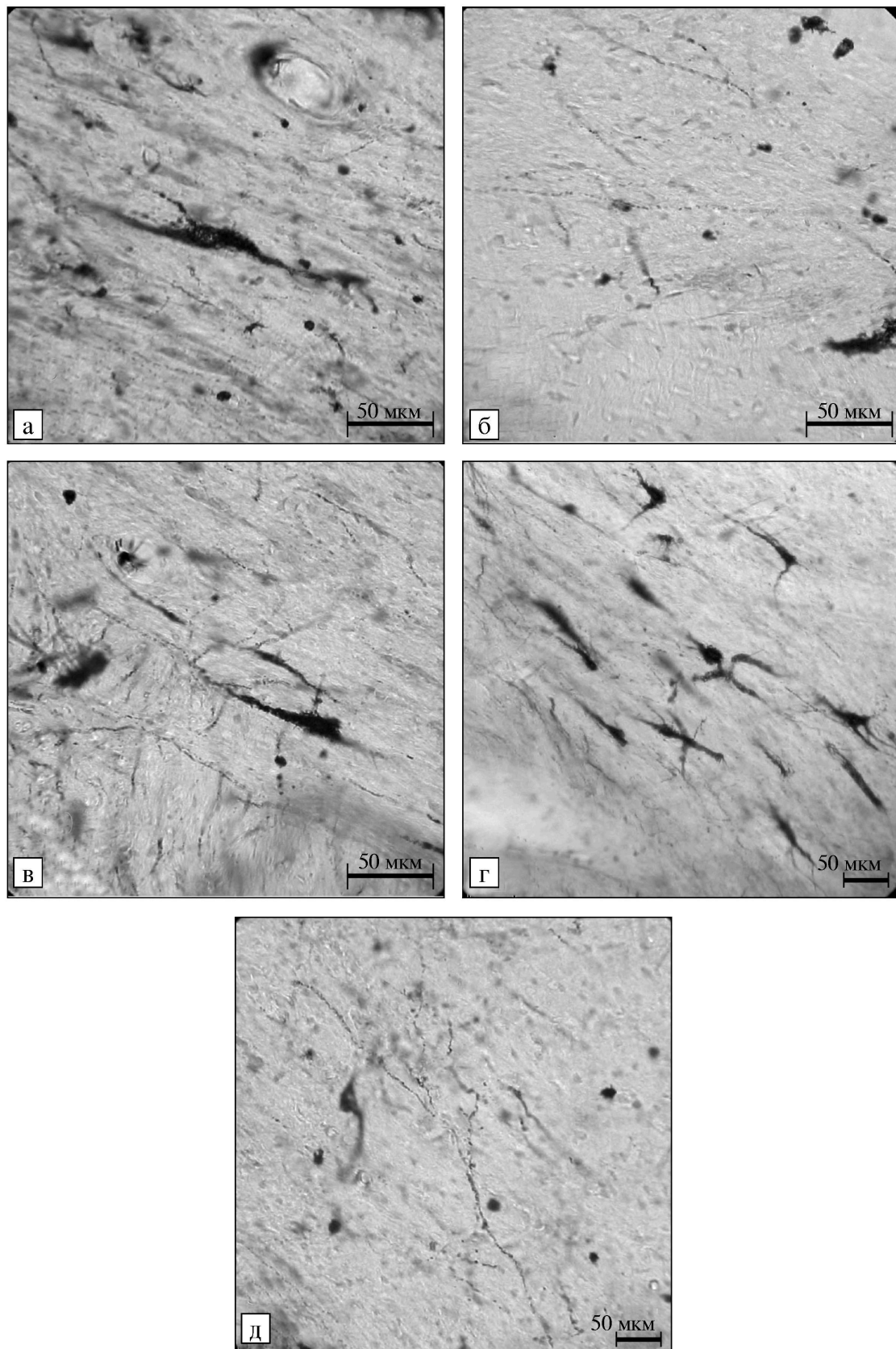


Рис. 1. Меченные тела нейронов и аксоны в каудальном (а), дорсальном (б) и вентральном (в) секторах неопределенной зоны (ZI) промежуточного мозга собаки при введении маркёра в бледный шар и в каудальном (г) и дорсальном (д) секторах ZI при введении маркёра в энтопедункулярное ядро.

Ретроградное и антероградное мечение в ZI при введении пероксидазы хрена или пероксидазы хрена, конъюгированной с агглютинином проростков пшеницы в структуры палициума. Окраска по M.M. Mesulam [10].

лидоинцирталных проекций у собаки не удалось, поскольку вне зависимости от локализации зоны инъекции маркёра в бледный шар или энтопедункулярное ядро, распределение меченых аксонов в разных секторах было одинаковым. Аналогичное распределение меченых нейронов в этих структурах паллидума было описано ранее [3] и при введении ретроградного маркёра в разные сектора ZI. Необходимо подчеркнуть, что антероградного мечения аксонов не было выявлено ни в одном из секторов ZI при введении маркёра вентральный паллидум.

На рис. 2 представлены обобщенные данные, полученные ранее [3] и в настоящем исследовании, об организации реципрокных проекций отдельных подструктур ZI и структур паллидарного ядерного комплекса. В проведённых опытах не установлены проекции ZIr на паллидум, а также не удалось выявить наличия связей между лимбическим вентральным паллидумом и ZI. Как видно из схемы, ZI взаимосвязана реципрокными проекциями только с паллидарными структурами, задействованными в реализации преимущественно моторных аспектов поведенческих актов. Полученные данные свидетельствуют о наличии проекций моторных паллидарных структур — бледного шара и энтопедункулярного ядра на ZIr, ZId, ZIc, ZId и ZIV. Примечательно, что проекции ZIc, а также ZId и ZIV направлены также только на моторные (бледный шар, энтопедункулярное ядро) структуры паллидума. Характерно, что ZIc, в котором выявлено наибольшее число паллидарных проекционных нейронов, вовлечен в регуляцию позы и локомоции [12]. Оказалось, что глубокая мозговая стимуляция именно этого сектора вызывает более значительное улучшение моторных нарушений у больных паркинсонизмом, чем при стимуляции других секторов ZI и субталамуса [14]. Можно полагать, что ZIc, в основном иннервирующий моторный паллидум, нужно отнести к моторной области ZI. Необходимо отметить, что ZId участвует в контроле реакции пробуждения (agousal), а ZIV принимает участие в организации ориентировочных движений глаз и головы, а кроме того, в обоих секторах описана соматотопическая карта представительства головы и конечностей [11, 12]. В связи с этим следует рассматривать указанные сектора также, как функционирующие в моторном круге. Вообще при анализе моторных нарушений у больных паркинсонизмом высказано предположение, что специфические клинические черты двигательных расстройств зависят от включения в функционирование моторного круга индивидуальных моторных подкругов [4]. Исходя из сказанного, возможно, три названные выше сектора включены в разные петли или подкруги моторного круга, которые ответственны за раз-

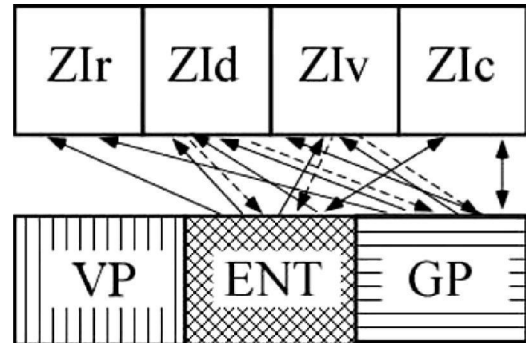


Рис. 2. Организация связей между отдельными секторами неопределенной зоны (ZI) промежуточного мозга собаки и функционально различными структурами паллидума.

Сектора ZI: ZIr — ростральный, ZId — дорсальный, ZIv — вентральный, ZIc — каудальный; структуры паллидума: ENT — энтопедункулярное ядро, GP — бледный шар, VP — вентральный паллидум. В структурах паллидума: горизонтальная штриховка — область, получающая преобладающие проекции от моторных структур; вертикальная штриховка — от лимбических структур, двойная диагональная штриховка — от функционально различных структур. Стрелки указывают наличие проекций: сплошные — 4–10 нейронов, пунктирные — единичных нейронов.

ные симптомы двигательных расстройств (например, гипокинетические или гиперкинетические). По существу, ZI, иннервируя моторный дорсальный паллидум, в то же время является релейной структурой для сегрегированного проведения в неё информации, исходящей из тех же структур паллидума. Однако, наряду с наличием элементов функциональной сегregationи, наблюдаемое перекрытие проекционных волокон, исходящих от нейронов ZIc, ZId и ZIV в моторных структурах паллидума — энтопедункулярном ядре и бледном шаре и наоборот — от нейронов этих паллидарных структур во всех секторах ZI, позволяет предположить, что в этих структурах может осуществляться интеграция информации, поступающей по разным подкругам. Вероятно, исследуемое ядро может контролировать прямой (через энтопедункулярное ядро) и непрямой (через бледный шар) выходные пути базальных ганглиев и, оказывая влияние на разные аспекты моторного поведения, участвует в селекции необходимого организму в данный момент поведенческого акта. В целом, полученные результаты, указывающие на связь ZI с выходными структурами базальных ганглиев, в совокупности с данными физиологических исследований и клинических наблюдений позволяют согласиться с высказанным предположением [11] о том, что рассматриваемые структуры являются частью единой морффункциональной системы базальных ганглиев.

Анализ литературных данных свидетельствует, что существующие сведения об исследуе-

мых проекциях довольно разрознены и противоречивы. В ряде исследований [5, 8, 15, 16] есть указания на наличие проекций ZI на базальные ганглии (бледный шар, энтопедункулярное ядро, чёрное вещество, педункулопонтийное ядро), но эти связи рассматривались только наряду со многими другими афферентными или эфферентными системами ZI. Указанное обстоятельство явилось причиной того, что до настоящего времени отсутствуют работы, выполненные на каком-либо животном и посвященные, подобно настоящему исследованию, проведённому на собаке, детальному изучению связей отдельных секторов ZI с каждой структурой палладарного ядерного комплекса.

Полученные данные об особенностях организации взаимных проекций ZI и палладума мозга собаки являются приоритетными и вносят вклад в эволюционную морфологию. Они позволяют детализировать представления о возможных путях проведения функционально специфической информации в системе базальных ганглиев и могут быть полезны для дальнейшего совершенствования существующих модельных представлений, описывающих механизм проведения функционально различной информации в системе базальных ганглиев посредством сегрегированных параллельных корково-подкорковых кругов и не учитывающих моррофункциональную взаимосвязь ZI с рассматриваемой системой. Детальное исследование взаимосвязей рассматриваемых структур может быть актуально и для определения точных функциональных территорий в пределах ZI при выборе наиболее адекватных фармакологических, хирургических и электрофизиологических подходов с целью облегчения патологических симптомов, наблюдавшихся при нейрологических заболеваниях, в патогенез которых рассматривающие структуры вовлечены.

*Работа выполнена при поддержке гранта РФФИ № 06-04-48346.*

#### ЛИТЕРАТУРА

- Горбачевская А.И. и Чивилёва О.Г. Морфологический анализ путей проведения информации в базальных ганглиях млекопитающих. Успехи физиол. наук, 2003, т. 34, № 2, с. 46–63.
- Горбачевская А.И. и Чивилёва О.Г. Структурная организация неопределенной зоны промежуточного мозга собаки. Морфология, 2007, т. 128, вып. 3, с. 11–15.
- Чивилёва О.Г. и Горбачевская А.И. Проекции базальных ганглиев на неопределенную зону промежуточного мозга собаки. Морфология, 2007, т. 132, вып. 4, с. 21–23.
- DeLong M.R. and Wichmann T. Circuits and circuit disorders of basal ganglia. Neurol. Rev., 2007, v. 64, № 1, p. 20–24.
- De Vito J.L., Anderson M.E. and Walsh K.E. A horseradish peroxidase study of afferent connections of the globus pallidus in Macaca mulatta. Exp. Brain Res., 1980, v. 38, № 1, p. 65–73.
- Dua-Sharma S., Sharma K.N. and Jacobs H.L. The canine brain in stereotaxic coordinates. Cambridge, Massachusetts and London, MIT Press, 1970.
- Heise C.E. and Mitrofanis J. Evidence for a glutamatergic projection from the zona incerta to the basal ganglia of rats. J. Comp. Neurol., 2004, v. 468, № 3, p. 482–495.
- Kolmac C.I., Power B.D. and Mitrofanis J. Patterns of connections between zona incerta and brainstem in rats. J. Comp. Neurol., 1998, v. 396, № 3, p. 544–555.
- Merello M., Tenca E. and Cerquetti D. Neuronal activity of the zona incerta in Parkinson's disease patients. Mov. Disord., 2006, v. 21, № 7, p. 937–943.
- Mesulam M.M. Tetramethylbenzidine for horseradish peroxidase neurohistochemistry: a non-carcinogenic blue reaction product with superior sensitivity for visualizing neural afferents and efferents. J. Histochem. Cytochem., 1978, v. 26, № 2, p. 106–117.
- Mitrofanis J. Some certainty for the «zone of uncertainty»? Exploring the function of the zona incerta. Neuroscience, 2005, v. 130, № 1, p. 1–15.
- Mitrofanis J., Ashkan K., Wallace B.A. and Benabid A.L. Chemoarchitectonic heterogeneities in the primate zona incerta: clinical and functional implications. J. Neurocytol., 2004, v. 33, № 4, p. 429–440.
- Parent M. and Parent A. The pallidothalamic motor fiber system in primates. Parkinsonism Relat. Disord., 2004, v. 10, № 4, p. 203–211.
- Plaha P., Ben-Shlomo Y., Patel N.K. and Gill S.S. Stimulation of the caudal zona incerta is superior to stimulation of the subthalamic nucleus in improving contralateral parkinsonism. Brain, 2006, v. 126, № 7, p. 1732–1747.
- Roger M. and Cadusseau J. Afferent connections to the zona incerta in the rat: a combined retrograde and anterograde study. J. Comp. Neurol., 1985, v. 241, № 2, p. 480–492.
- Shammah-Lagnado S.J., Negrao N. and Ricardo J.A. Afferent connections of the zona incerta: a horseradish peroxidase study in the rat. Neuroscience, 1985, v. 15, № 1, p. 109–134.

Поступила в редакцию 17.01.08

#### THE ORGANIZATION OF DIENCEPHALIC ZONA INCERTA PROJECTIONS TO THE STRUCTURES OF THE PALLIDIUM IN DOG BRAIN

A.I. Gorbachevskaya

The detailed organization of the projections of the individual sectors of the zona incerta of the diencephalon to the functionally diverse pallidal structures in dog brain was investigated by the method of antero- and retrograde axonal transport of horseradish peroxidase. It was found that the neurons of the caudal incertal sector innervated the globus pallidus and the nucleus entopeduncularis which predominantly received the innervation from the motor structures. The projections from single neurons of the dorsal and ventral incertal sectors are directed to the same pallidal structures. No connections of the zona incerta with the limbic ventral pallidum were established.

**Key words:** *brain, zona incerta, globus pallidus, nucleus entopeduncularis, ventral pallidum.*

Laboratory of Physiology of Higher Nervous Activity, RAS I.P. Pavlov Institute of Physiology, St. Petersburg.